

Fig. 2.1. Spatial distribution of maximum annual cumulative duration of cold waves/cold spells detected based on mean-5 °C  
Distribuția spațială a duratei cumulate maxime anuale a valurilor de frig/perioadelor reci detectate pe baza mediei-5 °C

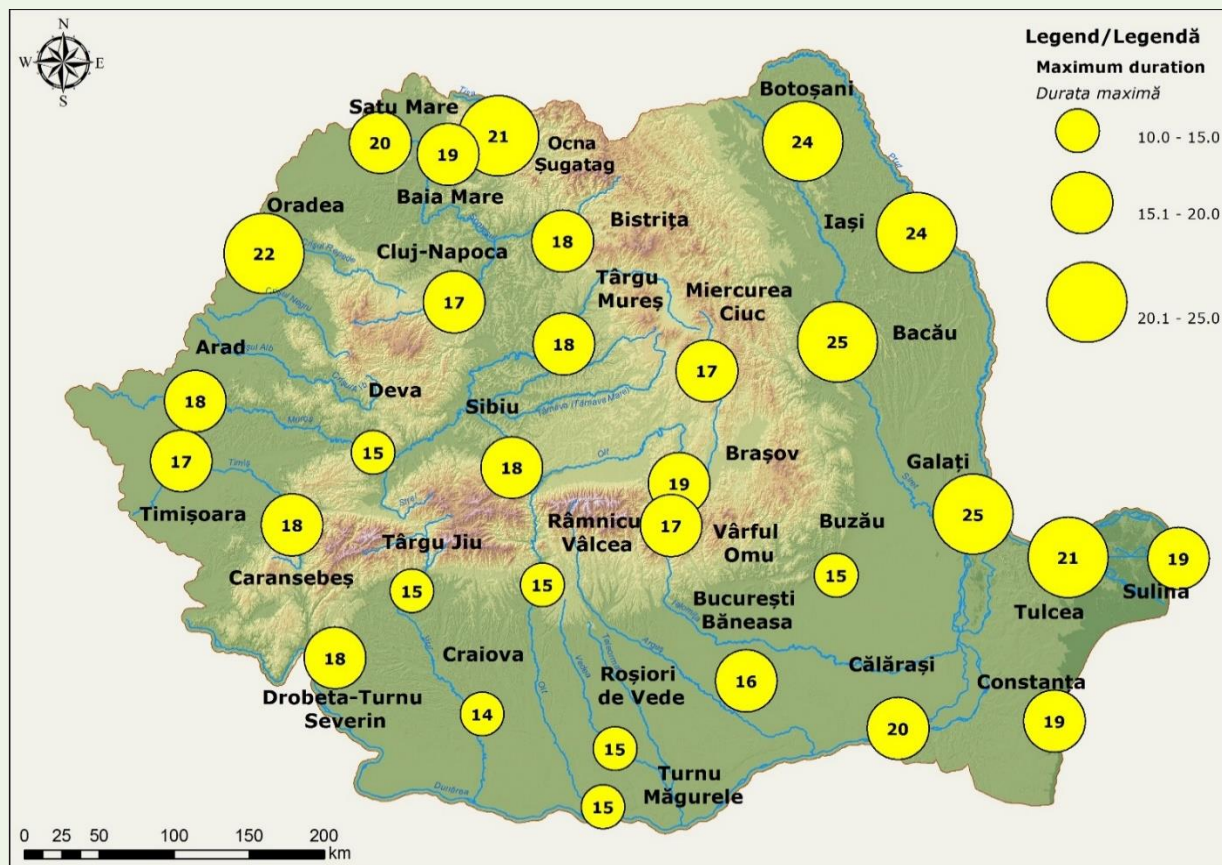


Fig. 2.2. Spatial distribution of maximum annual intensity of cold waves/cold spells detected based on mean-5 °C  
Distribuția spațială a intensității maxime anuale a valurilor de frig/perioadelor reci detectate pe baza mediei-5 °C

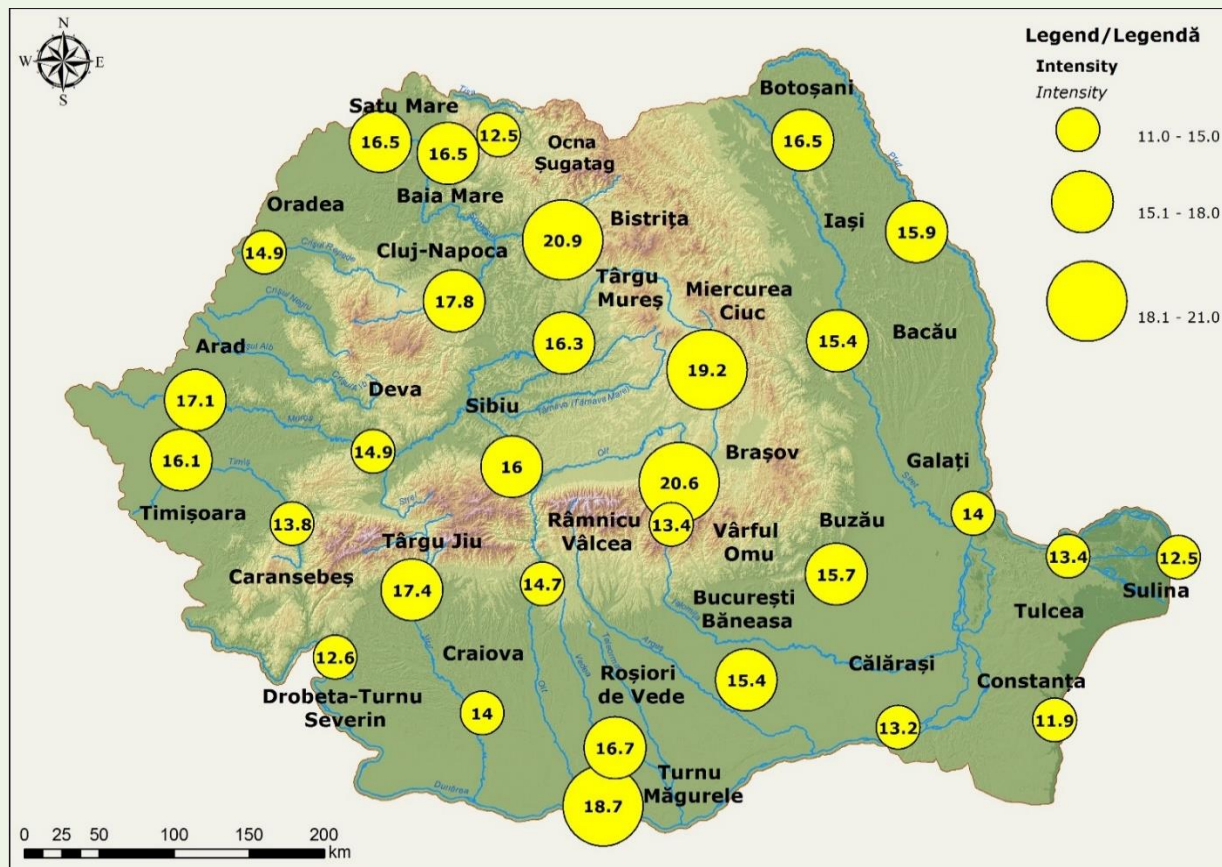


Fig. 2.3. Spatial distribution of maximum annual duration of cold waves/cold spells detected based on mean-5 °C  
Distribuția spațială a duratei maxime anuale a valurilor de frig/perioadelor reci detectate pe baza mediei-5 °C

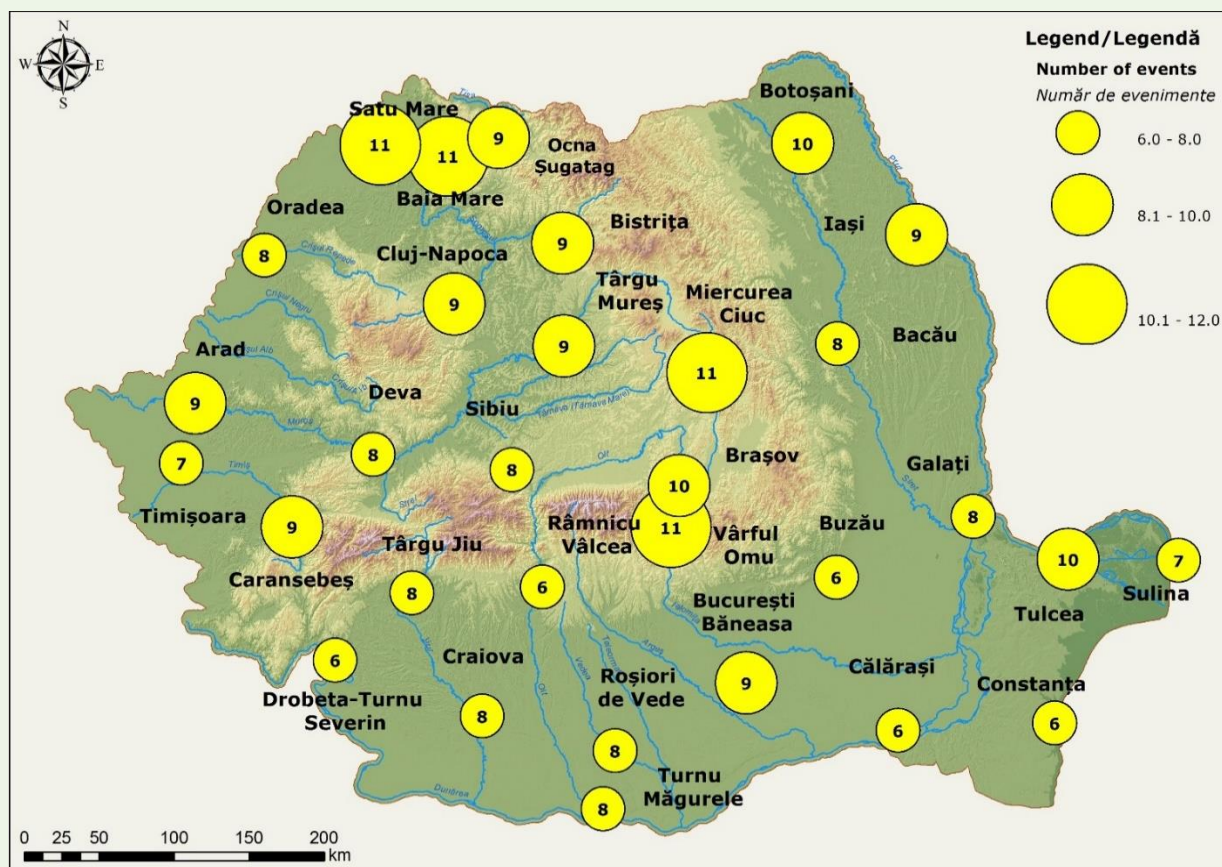


Fig. 2.4. Spatial distribution of maximum annual number of cold waves/cold spells detected based on mean-5 °C  
Distribuția spațială a numărului maxim anual al valurilor de frig/perioadelor reci detectate pe baza mediei-5 °C

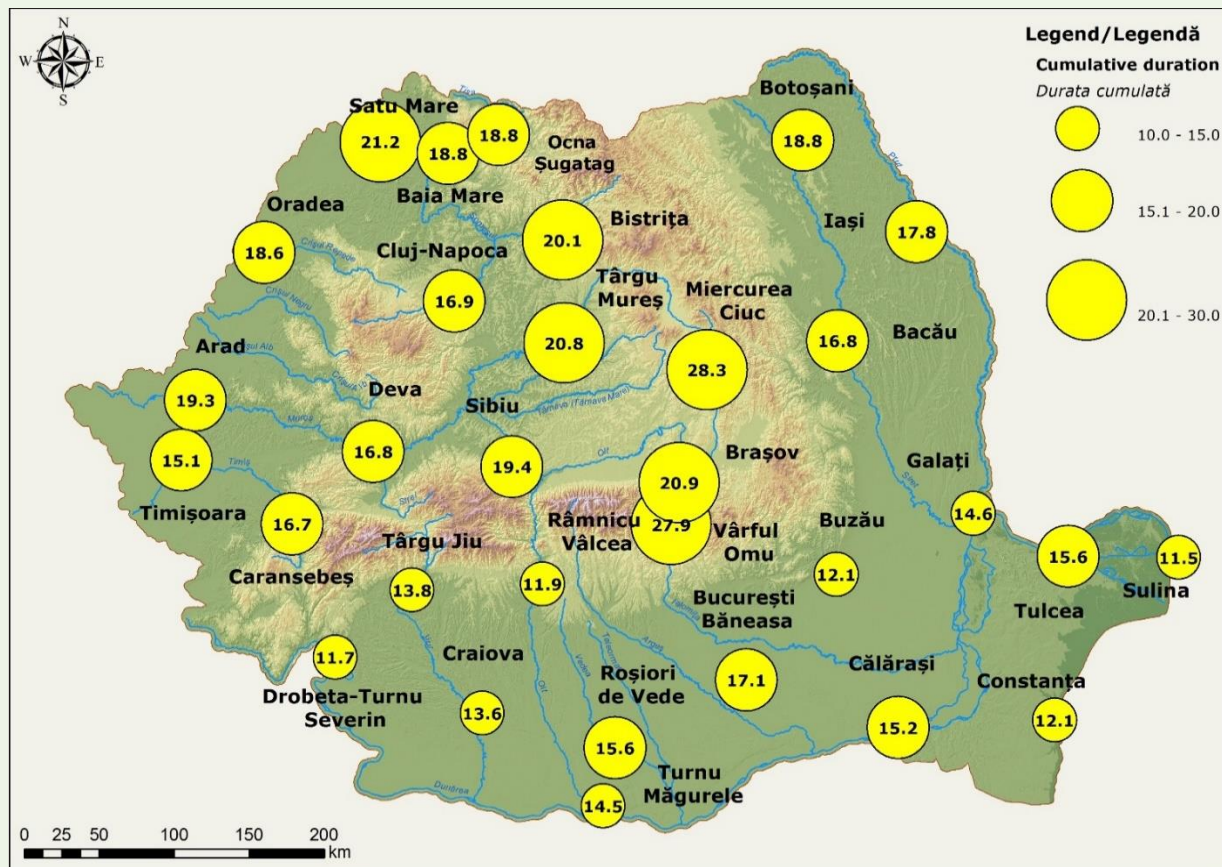


Fig. 2.5. Spatial distribution of mean annual cumulative duration of cold waves/cold spells detected based on mean-5 °C  
Distribuția spațială a duratei cumulate medii anuale a valurilor de frig/perioadelor reci detectate pe baza mediei-5 °C

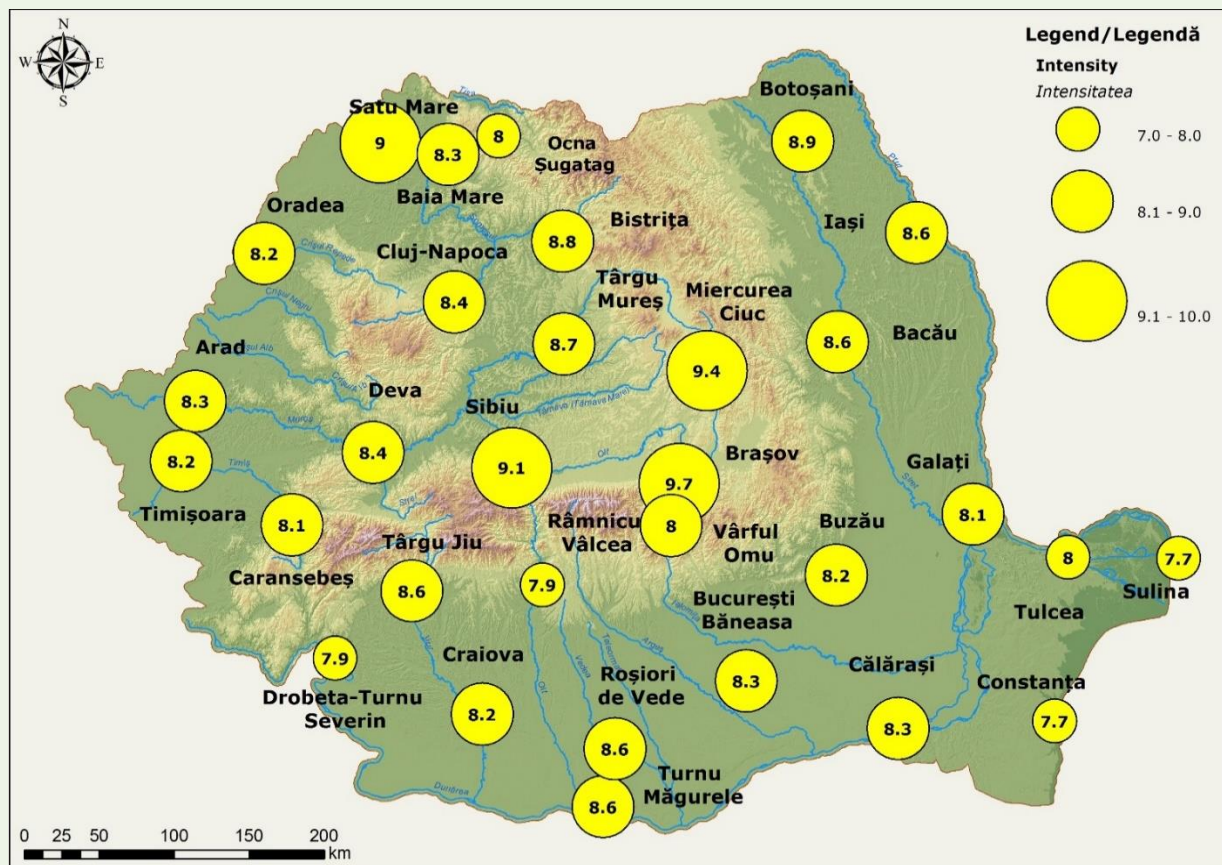


Fig. 2.6. Spatial distribution of mean annual intensity of cold waves/cold spells detected based on mean-5 °C  
Distribuția spațială a intensității medii anuale a valurilor de frig/perioadelor reci detectate pe baza mediei-5 °C

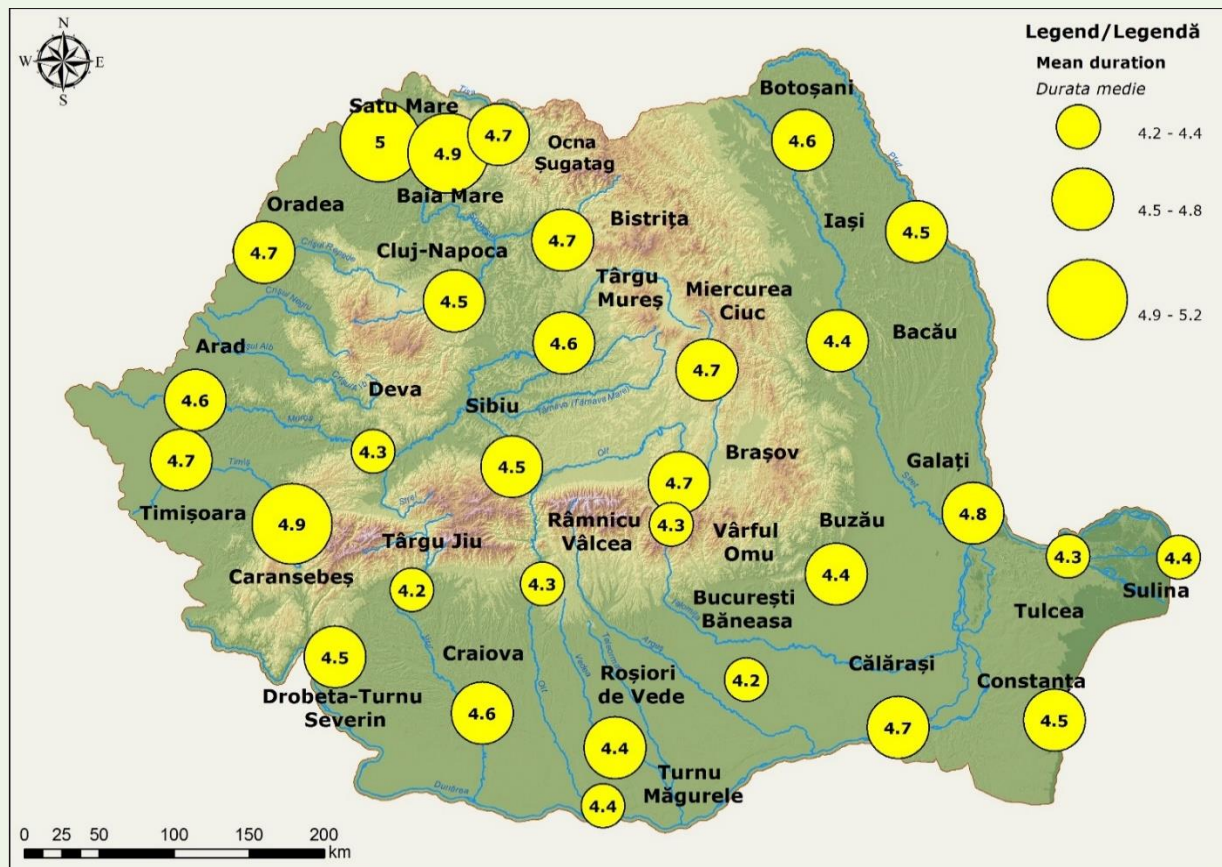


Fig. 2.7. Spatial distribution of mean annual duration of cold waves/cold spells detected based on mean-5 °C  
Distribuția spațială a duratei medii anuale a valurilor de frig/perioadelor reci detectate pe baza mediei-5 °C

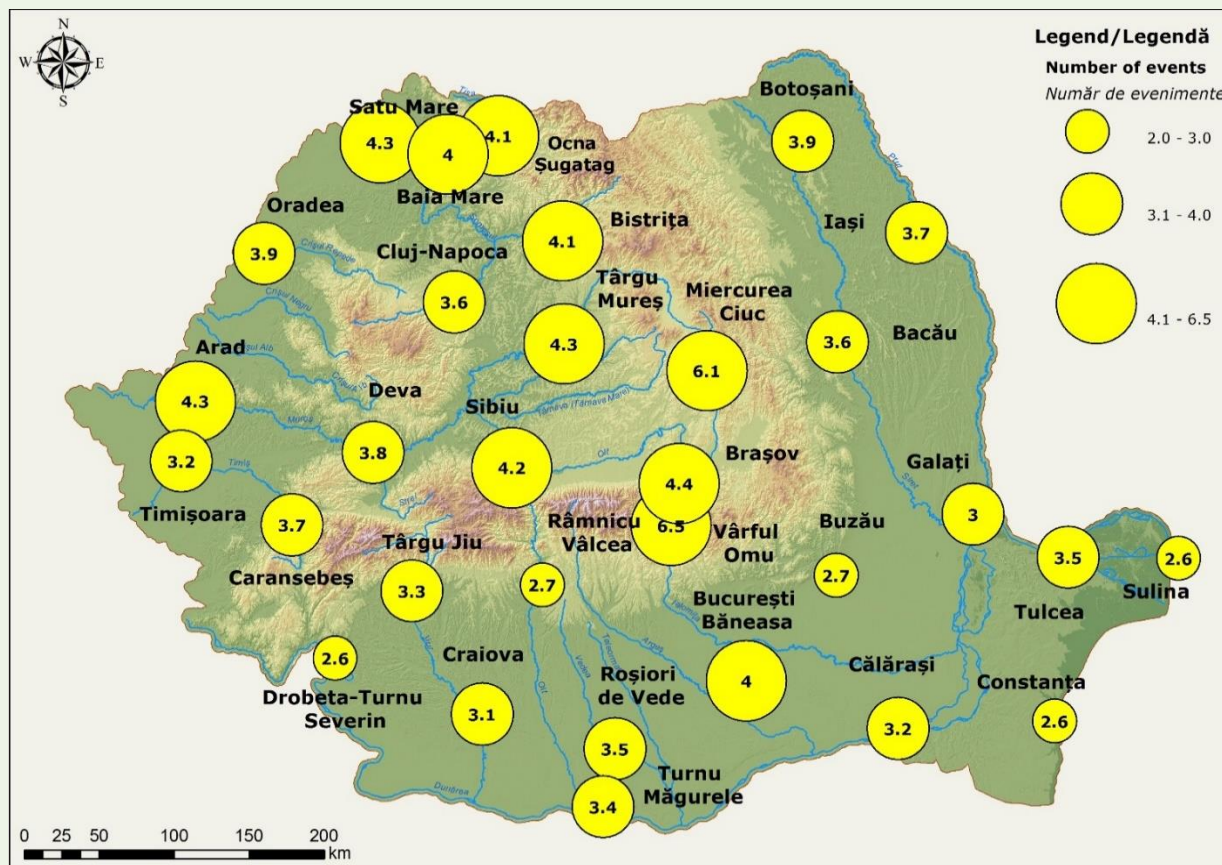


Fig. 2.8. Spatial distribution of mean annual number of cold waves/cold spells detected based on mean-5 °C  
Distribuția spațială a numărului mediu anual al valurilor de frig/perioadelor reci detectate pe baza mediei-5 °C